

07; 03

© 1991 г.

## ЗАПИСЬ БЕГУЩИХ ГОЛОГРАММ В СУСПЕНЗИЯХ, СОДЕРЖАЩИХ БАКТЕРИОРОДОПСИН

Ю. О. Барменков, Н. М. Кожевников

Экспериментально исследовано преобразование гармонической фазовой модуляции в модуляцию интенсивностей невырожденных по частоте световых пучков, записывающих динамическую голограмму в водной суспензии, содержащей бактериородопсин. Полученные результаты свидетельствуют о формировании в среде амплитудной и фазовой решеток (пространственная модуляция коэффициента поглощения и диэлектрической проницаемости), стационарные амплитуды которых зависят от разности частот световых пучков и постоянных времени фотоотклика. Кинетика изменений спектральных амплитуд колебаний интенсивностей выходных пучков при записи этих решеток имеет осциллирующий характер, обусловленный зависящим от времени пространственным рассогласованием решеток и интерференционной картины пучков.

Невырожденное по частоте двухпучковое взаимодействие (НДВ) в фоторефрактивных кристаллах [1], приводящее к формированию бегущих фазовых голограмм [2], широко используется для усиления энергообмена пучков (см., например, [3, 4]). Дополнительная высокочастотная (по сравнению с обратным временем релаксации нелинейного фотоотклика среды) гармоническая фазовая модуляция записывающих пучков позволяет расширить область практического применения НДВ. В частности, регистрация амплитуд колебаний интенсивностей выходных пучков на основной или удвоенной частоте (соответственно в случае нелокального или локального фоторефрактивного отклика) открывает возможность измерения малых разностей частот когерентных световых пучков [5]. При этом динамический характер голографической записи обеспечивает адаптивную пространственно-временную стабилизацию рабочей точки интерферометра [6].

Другое перспективное направление использования НДВ связано с исследованием характеристик нелинейного фотоотклика различных сред, так как зависимости спектральных амплитуд колебаний интенсивностей выходных пучков от скорости перемещения бегущей интерференционной картины (ИК) содержат информацию об амплитудах фотоиндукционных решеток показателя преломления и коэффициента поглощения, угле пространственного рассогласования этих решеток и записывающей ИК, а также о временах релаксации фотоотклика. В настоящей работе на примере водных суспензий, содержащих бактериородопсин, (ВСБР) рассмотрена методика применения НДВ для изучения слабонелинейных сред с локальным керровским фотооткликом.

Схема экспериментальной установки для исследования НДВ в ВСБР приведена на рис. 1. Излучение гелий-неонового лазера ЛГН-215 1 ( $\lambda=0.63$  мкм)

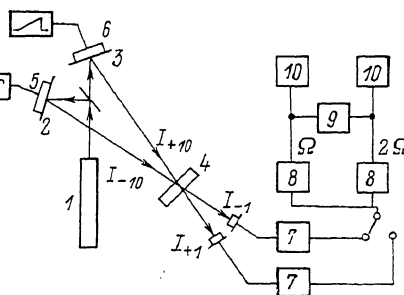


Рис. 1. Схема экспериментальной установки.

разделяется на два пучка  $I_{\pm 10} = I_0 = 0.2 \text{ мВт/мм}^2$ , которые зеркалами 2, 3 сводятся на кювету с ВСБР 4. Зеркало 2 размещается на пьезоэлектрическом модуляторе 5, к которому подводится гармоническое напряжение с частотой  $f = \Omega / 2\pi = 10 \text{ кГц}$ . Для осуществления НДВ зеркало 3 наклеено на магнитоэлектрический модулятор 6, управляемый пилообразными импульсами с амплитудой, соответствующей кратному  $2\pi$  изменению разности фаз взаимодействующих пучков. Период этих импульсов, очевидно, определяет линейную скорость  $\Omega_0$  изменения разности фаз (разность оптических частот) этих пучков.

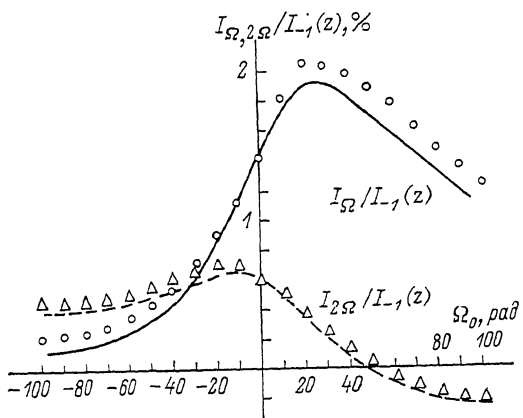


Рис. 2. Зависимости стационарных относительных амплитуд первой и второй гармоник колебаний интенсивности ( $-1$ )-пучка от скорости линейной модуляции оптической разности фаз.

Сплошная и штриховая линии — теория, треугольники и кружки — эксперимент.

После прохождения кюветы с ВСБР модулированные по интенсивности световые пучки детектируются фотоприемными устройствами (ФПУ) 7 (кремниевые  $p-i-n$ -фотодиоды с предварительными усилителями на полевых транзисторах). Спектральные компоненты выходных сигналов ФПУ на частотах  $\Omega$  и  $2\Omega$  после селективного усиления 8 (добротность  $\sim 100$ ) регистрируются двухлучевым осциллографом 9 и вольтметрами 10. Синхронизация медленной развертки осциллографа и последовательности пилообразных импульсов позво-

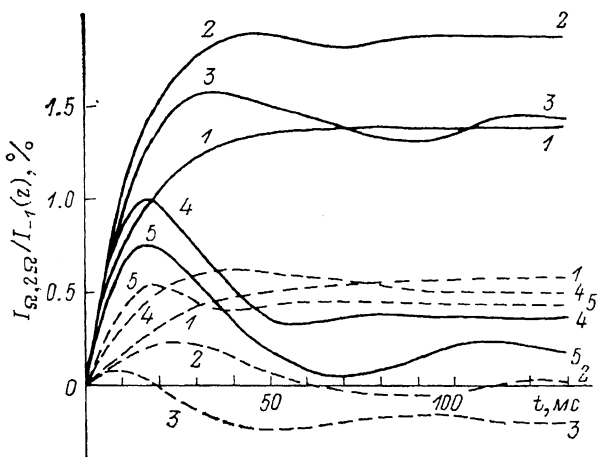


Рис. 3. Кинетика изменений относительных амплитуд первой (сплошные линии) и второй (штриховые линии) гармоник колебаний интенсивности ( $-1$ )-пучка.

$\Omega_0 = 0$  (1), 50 (2), 80 (3),  $-50$  (4),  $-80$  рад/с (5).

ляет наблюдать кинетику приближения спектральных амплитуд колебаний интенсивностей пучков к своим стационарным значениям.

На рис. 2 приведены результаты экспериментального исследования зависимостей стационарных относительных амплитуд первой и второй гармоник колебаний интенсивности ( $-1$ )-пучка от скорости линейной модуляции разности фаз  $\Omega_0$ . Соответствующие зависимости для ( $+1$ )-пучка симметричны относительно вертикальной оси графика. Отрицательные значения амплитуд означают изменение на  $\pi$  фазы колебания. Аналогичные экспериментальные результаты были получены в [5] для полимерных пленок, содержащих БР.

Кинетика голограммической записи в рассматриваемых ВСБР при НДВ имеет более или менее ярко выраженный осциллирующий характер (рис. 3). При этом колебания интенсивностей ( $\pm 1$ )-пучков оказываются несинфазными.

Для интерпретации полученных результатов предположим, что в ВСБР могут формироваться как локальная амплитудная (модуляция коэффициента поглощения), так и локальная фазовая (модуляция показателя преломления) голограммические решетки, обусловленные пространственной модуляцией распределения концентрации фотовоизбужденных молекул БР [7]. Запишем уравнения для комплексных амплитуд  $\tilde{\Delta}\epsilon(z; t)$  и  $\tilde{\Delta}\alpha(z; t)$  основных пространственных гармоник фотоиндуцированных изменений диэлектрической проницаемости  $\tilde{\Delta}\epsilon(x, z; t) = \tilde{\Delta}\epsilon(z; t) \exp(2ikx \sin \theta)$  и коэффициента поглощения  $\tilde{\Delta}\alpha(x, z; t) = \tilde{\Delta}\alpha(z; t) \exp(2ikx \sin \theta)$

$$\frac{\partial}{\partial t} \tilde{\Delta}\epsilon(z; t) = \beta \sqrt{I_{+1}(z; t) I_{-1}(z; t)} \exp(i\varphi(z; t)) - \tau_{\epsilon}^{-1} \tilde{\Delta}\epsilon(z; t), \quad (1)$$

$$\frac{\partial}{\partial t} \tilde{\Delta}\alpha(z; t) = \gamma \sqrt{I_{+1}(z; t) I_{-1}(z; t)} \exp(i\varphi(z; t)) - \tau_{\alpha}^{-1} \tilde{\Delta}\alpha(z; t), \quad (2)$$

где  $E_{\pm 1}(x, z, t) = \sqrt{I_{\pm 1}(z; t)} \exp[i(\omega t - kz \cos \theta \pm kx \sin \theta + \varphi_{\pm 1}(z; t))]$  — напряженности электрических полей двух линейно поляризованных вдоль оси  $Y$  плоских волн, падающих в плоскости  $XZ$  на поверхность  $z=0$  нелинейной среды симметрично относительно нормали к поверхности под углами  $\pm \theta$ ;  $\text{Im } \beta = \text{Im } \gamma = 0$ ;  $\varphi(z; t) = \varphi_{+1}(z; t) - \varphi_{-1}(z; t)$ ;  $k = 2\pi/\lambda$ .

Решения уравнений (1), (2) с начальными условиями  $\tilde{\Delta}\epsilon(z; 0) = \tilde{\Delta}\alpha(z; 0) = 0$  имеют вид

$$\tilde{\Delta}\epsilon(z; t) = \beta S_{\epsilon}(z; t), \quad \tilde{\Delta}\alpha(z; t) = \gamma S_{\alpha}(z; t), \quad (3)$$

$$S_{\epsilon, \alpha} = \int_0^t \sqrt{I_{+1}(z; t') I_{-1}(z; t')} \exp\left[\frac{t' - t}{\tau_{\epsilon, \alpha}} + i\varphi(z; t')\right] dt'. \quad (4)$$

В слабонелинейных средах ( $\Delta\epsilon \ll 1$ ,  $\Delta\alpha \ll 1$ ), к которым относится [ВСБР, можно пренебречь эффектами самодифракции пучков [8] и явлением «перекачки фазы» на начальной стадии процесса голограммической записи [9]. В этом случае разность фаз  $\varphi(z; t)$  определяется только смещениями зеркал интерферометра (рис. 1)  $\varphi(z; t) = \varphi(t) = \Omega_0 t + a \sin \Omega t$ ,  $\Omega \tau_{\epsilon, \alpha} \gg 1$ , а уравнения для интенсивностей световых пучков, распространяющихся в среде,

$$\begin{aligned} \frac{\partial}{\partial z} I_{\pm 1}(z; t) = & -\frac{a}{\cos \theta} I_{\pm 1}(z; t) + \\ & + \text{Re} \left[ I_{+1}^{1/2}(z; t) I_{-1}^{1/2}(z; t) \frac{\gamma S_{\alpha}(z; t) \pm k\beta S_{\epsilon}(z; t)}{\cos \theta} e^{-i\varphi(z; t)} \right] \end{aligned} \quad (5)$$

могут быть решены методом последовательных приближений.

В установившемся режиме ( $t \rightarrow \infty$ ) из (5) легко получаются формулы для амплитуд первой и второй гармоник колебаний интенсивностей пучков

$$I_{\Omega} = \frac{2}{a} (\gamma \tau_{\alpha} B_{\alpha} \mp k \beta \tau_{\epsilon} A_{\epsilon}) J_0(a) J_1(a) I_0^2 T(z), \quad (6)$$

$$I_{2\Omega} = \frac{2}{a} (\gamma \tau_{\alpha} A_{\alpha} \pm k \beta \tau_{\epsilon} B_{\epsilon}) J_0(a) J_2(a) I_0^2 T(z), \quad (7)$$

где  $A_{\epsilon, \alpha} = (1 + \Omega_0^2 \tau_{\epsilon, \alpha}^2)^{-1}$ ,  $B_{\epsilon, \alpha} = \Omega_0 \tau_{\epsilon, \alpha} (1 + \Omega_0^2 \tau_{\epsilon, \alpha}^2)^{-1}$ ,  $I_{\pm 1}(0) = I_0$ ,  $T(z) = \exp(-az/\cos \theta) (1 - \exp(-az/\cos \theta))$ ,  $J_0(a)$ ,  $J_1(a)$ ,  $J_2(a)$  — функции Бесселя; верхний знак в (6), (7) берется для (+1)-пучка.

На рис. 2 сплошной и штриховой линиями показаны зависимости относительных амплитуд первой и второй гармоник  $I_{\Omega}/I_{-1}(z)$ ,  $I_{2\Omega}/I_{-1}(z)$  колебаний интенсивности (-1)-пучка ( $I_{-1}(z) = I_0 \exp(-az/\cos \theta)$ ). При расчетах использовались следующие значения величин:  $\beta \sim 2 \cdot 10^{-3} \text{ мм}^2/\text{мДж}$ ,  $\gamma \sim 10 \text{ мм}/\text{мДж}$ ,

$\tau_\epsilon = 12$  мс,  $\tau_\alpha = 24$  мс (определяются экспериментально из графиков на рис. 3 при  $\Omega_0 = 0$ ),  $J_0(a)J_1(a) = 0.28$ ,  $J_0(a)J_2(a) = 0.12$ ,  $a \sim 2$  мм $^{-1}$ ,  $z = 1$  мм,  $I_0 = 0.2$  мВт/мм $^2$ . Удовлетворительное соответствие экспериментальных и теоретических результатов подтверждает предположение об амплитудно-фазовом характере нелинейного фотоотклика в ВСБР и обоснованность приближений, использованных в расчете. Кроме того, полученные значения постоянных  $\beta$  и  $\gamma$  позволяют оценить амплитуды решеток диэлектрической проницаемости  $\Delta\epsilon = \beta\tau_\epsilon J_0(a)I_0 \sim 4 \cdot 10^{-6}$  и коэффициента поглощения  $\Delta\alpha = \gamma\tau_\alpha J_0(a)I_0 \sim 3.5 \times 10^{-2}$  мм $^{-1}$ .

Для анализа кинетики формирования амплитудной и фазовой решеток в режиме НДВ воспользуемся графическим методом, основанным на векторном представлении мгновенных и стационарных значений амплитуд этих решеток

на комплексной плоскости (рис. 4). Легко показать, что в системе координат, перемещающейся синхронно с ИК взаимодействующих пучков, решения кинетических уравнений (1), (2) можно записать в виде

$$\begin{aligned}\Delta\epsilon(z; t) &= \Delta\epsilon_{ct}(z) \left(1 - \exp\left(-\frac{t}{\tau_\epsilon}\right)\right), \\ \Delta\alpha(z; t) &= \Delta\alpha_{ct}(z) \left(1 - \exp\left(-\frac{t}{\tau_\alpha}\right)\right),\end{aligned}\quad (8)$$

где  $\tau_{\epsilon, \alpha}^{-1} = \tau_{\epsilon, \alpha}^{-1} + i\Omega_0$ ,  $\Delta\epsilon_{ct}(\Omega_0) = \Delta\epsilon_{ct}(0)(1 + \Omega_0^2\tau_{\epsilon, \alpha}^2)^{-1/2}$ ,  $\Delta\alpha_{ct}(\Omega_0) = \Delta\alpha_{ct}(0)(1 + \Omega_0^2\tau_{\epsilon, \alpha}^2)^{-1/2}$ .

Вектор  $\Delta\epsilon_{ct}$  для  $(-1)$ -пучка составляет угол  $\Psi_\epsilon^- = -\arctg \Omega_0\tau_\epsilon$ , а для  $(+1)$ -пучка — угол  $\Psi_\epsilon^+ = \pi - \arctg \Omega_0\tau_\epsilon$  с вещественной осью. Направление вектора

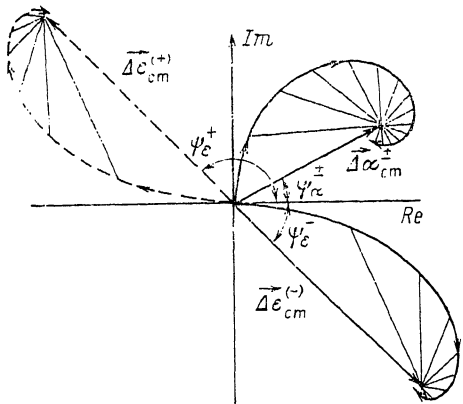


Рис. 4. Векторная диаграмма, соответствующая голограммической записи в ВСБР при  $\Omega_0 = 83.5$  рад/с.

$\Delta\alpha_{ct}$  для обоих пучков одинаково и составляет угол  $\Psi_d^\pm = \frac{\pi}{2} - \arctg \Omega_0\tau_\alpha$  с вещественной осью.

Годографы мгновенных векторов  $\Delta\epsilon(z; t)$  и  $\Delta\alpha(z; t)$  представляют собой спирали, начинающиеся из начала координат (если к моменту времени  $t=0$  в среде отсутствовали соответствующие решетки) и приближающиеся к стационарным значениям векторов. Скорости движения концов мгновенных векторов по этим спиралям одинаковы, период движения по спирали  $T = 2\pi/\Omega_0$ . Скорости уменьшения модулей мгновенных векторов различны и определяются значениями  $\Omega_0$  и  $\tau_{\epsilon, \alpha}$ , так как за время одного периода модуль функции  $\exp(-t/\tau_{\epsilon, \alpha})$  уменьшается в  $\exp(-2\pi/\Omega_0\tau_{\epsilon, \alpha})$  раз. Поэтому чем больше  $\tau_{\epsilon, \alpha}$ , тем глубже модуляция модулей векторов  $\Delta\epsilon(z; t)$ ,  $\Delta\alpha(z; t)$  и тем длиннее процесс установления их стационарных значений.

При дифракции фазомодулированных ( $\Omega\tau_{\epsilon, \alpha} \gg 1$ ) пучков на решетках, описываемых векторами на комплексной плоскости, в соответствии с (5) вещественные проекции мгновенных амплитуд этих решеток определяют амплитуды нечетных гармоник модулирующей частоты  $\Omega$ , а мнимые проекции — стационарный энергообмен и амплитуды четных гармоник колебаний интенсивностей пучков на выходе из среды. На рис. 4 приведена диаграмма, соответствующая голограммической записи в ВСБР при указанных выше значениях параметров нелинейного фотоотклика и  $\Omega_0 = 83.5$  рад/с. Временной интервал между прямыми, выходящими из концов векторов  $\Delta\epsilon_{ct}$  и  $\Delta\alpha_{ct}$ , соответствует  $T/16$ . Построив зависимости от времени сумм вещественных и мнимых проекций, умноженных соответственно на  $J_0(a)J_1(a) = 0.28$  и  $J_0(a)J_2(a) = 0.12$ , получим зависимости амплитуд первой и второй гармоник выходного сигнала, которые отличаются от приведенных на рис. 3 экспериментальных графиков не более чем на несколько процентов.

Таким образом, в результате проведенного исследования удалось надежно зарегистрировать существование амплитудно-фазовых решеток в ВСБР и оценить вклад каждой из них в энергообмен фазомодулированных пучков. Приведенные выше зависимости спектральных амплитуд выходных сигналов от скорости перемещения бегущей ИК (в стационарном режиме) и от времени (в процессе формирования голограмм) могут быть использованы при разработке конкретных схем адаптивных голограммических интерферометров, основанных на взаимодействии невырожденных по частоте световых пучков.

### Список литературы

- [1] Петров М. П., Степанов С. И., Хоменко А. В. Фоточувствительные электрооптические среды в голограммии и оптической обработке информации. Л.: Наука, 1983. 270 с.
- [2] Степанов С. И. // Оптическая голограммия с записью в трехмерных средах. Л.: Наука, 1986. С. 17—30.
- [3] Refregier Ph., Solymar L., Rajbenbach H., Huignard J. P. // J. Appl. Phys. 1985. Vol. 58. N 1. P. 45—57.
- [4] Hamel de Mouchenault G., Huignard J. P. // J. Appl. Phys. 1988. Vol. 63. N 3. P. 624—627.
- [5] Барменков Ю. О., Кожевников Н. М. // Письма в ЖТФ. 1990. Т. 16. Вып. 1. С. 65—69.
- [6] Барменков Ю. О., Зосимов В. В., Кожевников Н. М. и др. // Опт. и спектр. 1988. Т. 64. Вып. 6. С. 1339—1343.
- [7] Всеволодов Н. Н. Биопигменты-фоторегистраторы: фотоматериал на бактериородонсине. М.: Наука, 1988. 224 с.
- [8] Винецкий В. Л., Кухтарев Н. В., Одулов С. Г., Соскин М. С. // УФН. 1979. Т. 129. № 1. С. 113—137.
- [9] Винецкий В. Л., Кухтарев Н. В., Соскин М. С. // Квантовая электрон. 1977. Т. 4. № 2. С. 420—425.

Ленинградский государственный технический  
университет

Поступило в Редакцию  
8 октября 1990 г.